

УДК 577.95

Ю. М. С в е р е в

## Нелинейные колебания в математической экологии

В популяционной динамике и экологии можно отметить, что наблюдения за реальными популяциями, сообществами и экосистемами показывают, что гладкие монотонные кривые, описывающие, например, динамику численностей различных популяций, встречаются в природе крайне редко. Обычно мы видим циклическую динамику, либо нерегулярные хаотические

колебания численности. Конечно, самое простое объяснение — это объяснение, связывающее колебания численности с регулярными или случайными колебаниями внешней среды. И хотя во многих случаях это объяснение было правильным, но далеко не всегда подобная гипотеза могла объяснить наблюдавшиеся явления. Сторонники этой гипотезы находили связи между колебаниями численности и циклическими процессами все более и более глобального масштаба. В популяционной динамике появились 11-летние солнечные циклы, чем доказывалось непосредственное влияние колебаний солнечной активности на всевозможные популяции (от бактерий до человека), лунные 9-, 6-летние циклы — для зайца-беляка в Канаде, таинственные 8-летние циклы — для насекомых — вредителей леса и др.

Однако только после классической работы Вито Вольтерра о колебаниях в системе «хищник — жертва» [1] в экологии появилось ясное понимание того, что для объяснения колебаний численности зачастую не нужно использовать внешние факторы и что колебания могут быть присущи самой системе в постоянной среде.

1. Система «хищник — жертва» и проблема возникновения колебаний в экосистемах. Вольтерровская модель «хищник — жертва» является классическим примером возникновения нелинейных колебаний в экологической системе. Она описывается системой вида

$$dx/dt = \alpha x - V(x) y, \quad dy/dt = kV(x) y - my. \quad (1)$$

Здесь  $x(t)$  и  $y(t)$  — численности популяций «жертвы» и «хищника» соответственно,  $\alpha$  — коэффициент естественного прироста жертв,  $m$  — коэффициент естественной смертности хищника,  $V(x)$  — так называемая трофическая функция, описывающая удельную скорость потребления жертвы,  $k$  — КПД переработки биомассы жертв в биомассу хищников.

Строго говоря, В. Вольтерра рассматривал случай линейной трофической функции  $V = \gamma x$ . Он показал, что (1) имеет семейство периодических решений, амплитуды и период которых зависят от начальных условий (так называемые вольтерровские овалы). Однако «негрубость» циклов и нереалистичность трофической функции вызвала суровую «экологическую» критику этой модели, поэтому дальнейшее усложнение классической модели шло по пути аргумента заданного условия: модель должна иметь предельный цикл.

Такому условию удовлетворяет модель Колмогорова [2]:

$$dx/dt = \alpha(x)x - V(x)y, \quad dy/dt = P(x)y. \quad (2)$$

Здесь  $\alpha'_x < 0$ ,  $\alpha(0) > 0 > \alpha(\infty)$ , т. е. в отсутствие хищников коэффициент естественного прироста жертв убывает с возрастанием их численности;  $P'_x > 0$ ,  $P(0) < 0 < P(\infty)$ , т. е. с ростом численности жертв (пищи) скорость прироста хищников возрастает. И наконец, трофическая функция  $V(x)$ , т. е. скорость потребления жертвы хищников, удовлетворяет следующим условиям:  $V(0) = 0$ ,  $V(x) > 0$  при  $x > 0$ . А. Н. Колмогоров показал, что при определенных ограничениях на эти функции и их производные система (2) имеет устойчивый предельный цикл.

Однако в этой модели есть одно существенное допущение: поскольку  $\alpha'_x < 0$  и  $\alpha(\bar{x}) = 0$  при  $x < \infty$ , то это означает, что популяция жертв сама регулирует свою численность даже в отсутствие хищников. К сожалению, подобная формулировка сразу перечеркивает очень важную проблему, вокруг которой в последнее время ведется много споров: может ли (и при каких условиях) хищник регулировать популяцию жертвы? А если жертва сама себя регулирует, то вопрос становится бессмысленным.

Поэтому более интересно исследовать в каком-то смысле вырожденную задачу при  $\alpha = \text{const}$ . Оказывается, что и в этом случае при определенном типе трофической функции в системе «хищник — жертва» возникает предельный цикл, причем возникновение этого происходит по «жесткому» типу; но прежде несколько слов о типах трофических функций.

Канадский биолог Холлинг [3] в своих изящных экспериментах показал, что во многих случаях хищничества трофическую функцию можно отнести к одному из двух классов (рис. 1). Первый класс (рис. 1, а) характерен для беспозвоночных хищников и некоторых видов хищных рыб, а второй (рис. 1, б)— для позвоночных, т. е. для хищников, проявляющих достаточно сложное поведение (например, способность к обучению).

Пусть  $(x^*, y^*)$  — нетривиальное равновесие системы (1) функцией с  $V(x)$ , приводящей к одному из двух классов, и величина  $w(x) = [V(x) \times$

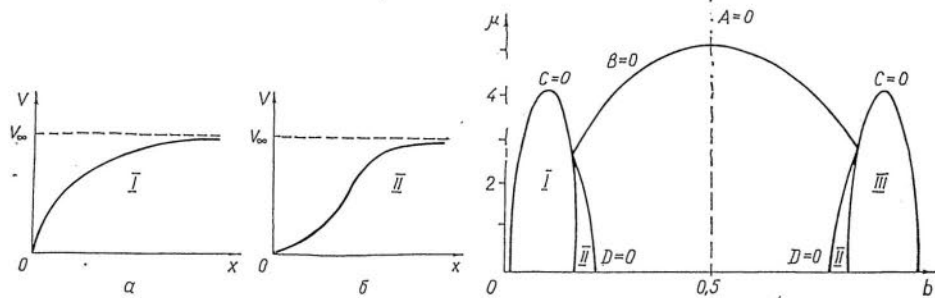


Рис. 1. Типы трофических функций в системе «хищник — жертва».

Рис. 2. Область различных типов динамики системы «хищник — жертва».

$\times x^*/V(x^*)x]$  незначительно отличается от единицы для всех  $x$  из окрестности  $x^*$ . Обозначим через  $S_c$  область, ограниченную вольтерровским овалом с константой  $c$ :  $e^{ax+m} + \Delta < c < \infty$ . Рассмотрим интеграл

$$\Psi = \iint_{S_c} [V(x)/x]_x dx dy.$$

Тогда, если существует такое  $c^*$ , что  $\Psi(c^*)=0$ ,  $\Psi'_c(c^*) \neq 0$ , то существуют  $\mu, \Delta > 0$  такие, что

а) для любого  $\varepsilon < \Delta$  ( $\varepsilon \sim \max_x |w(x) - 1|$ ) система (1) имеет в  $\mu$ -окрестности вольтерровского овала с  $c^*$  предельный цикл, стягивающийся к этой кривой при  $\varepsilon \rightarrow 0$ ;

б) этот цикл устойчив при  $\Psi'_c(c^*) > 0$  и неустойчив при  $\Psi'_c(c^*) < 0$ .

Отсюда сразу следует, что возникновение предельного цикла в системе (1) возможно только при трофической функции второго типа [4].

Переходя в (1) к переменным  $\xi = \ln(x/x^*)$ ,  $\eta = \ln(y/y^*)$ ,  $\tau = \alpha t$ , получаем

$$d\xi/d\tau = 1 - w(\xi)e^\eta, d\eta/d\tau = \mu [w(\xi)e^\xi - 1], \quad \mu = m/\alpha. \quad (3)$$

Пусть  $w(\xi) = 1 + \varepsilon \varphi(\xi)$ , где  $\varepsilon$  — малый параметр. Если теперь предположить, что предельный цикл лежит в достаточно малой окрестности  $\{x^*, y^*\}$ , то вольтерровский овал может быть заменен эллипсом  $H = \mu \xi^2/2 + \eta^2/2 = \text{const}$ . Тогда вместо (3) можно рассматривать систему

$$d\xi/d\tau = -\eta - \varepsilon \varphi(\xi) e^\eta, \quad d\eta/d\tau = \mu \xi + \varepsilon \delta \varphi(\xi) e^\xi. \quad (4)$$

Применение метода Крылова — Боголюбова к этой системе дало следующие результаты [4, 5]. Введем обозначения:  $A = \varphi'$ ;  $B = \frac{1}{8} (\mu \varphi' + \varphi'')$ ;  $C =$

$= \frac{1}{192} (\mu^2 \varphi' + 2\mu \varphi'' + \varphi^{(V)})$ ;  $D = B^2 - 4AC$ ; производные вычисляются в точке  $\xi = 0$ .

В зависимости от знаков  $A, B, C, D$  получим различные варианты динамики системы ( $r^*$  — амплитуда предельного цикла):

1)  $r^* = 0$  — устойчивое равновесие:  $A, B, C > 0$ , или  $A, C > 0, B, D < 0$ ; предельных циклов нет;

2)  $r^* = 0$  — устойчивое равновесие, неустойчивый предельный цикл с амплитудой  $r = r_2^*$ ;  $A > 0, B > 0, C < 0$ , либо  $A > 0, B < 0, C < 0$ ;

3)  $r^* = 0$  — устойчивое равновесие,  $r = r_2^*$  — неустойчивый предельный цикл,  $r = r_1^*$  — устойчивый цикл ( $r_1^* > r_2^*$ ):  $A > 0, B < 0, C > 0, D > 0$ ;

4)  $r^* = 0$  — неустойчивое равновесие;  $A, B, C < 0$ , или  $A < 0, B > 0, C < 0, D < 0$ , предельных циклов нет;

5)  $r^* = 0$  — неустойчивое равновесие,  $r = r_1^*$  — устойчивый предельный цикл с самовозбуждением из нуля  $A < 0, B > 0, C > 0$ , либо  $A < 0, B < 0, C > 0$ ;

6)  $r^* = 0$  — неустойчивое равновесие,  $r = r_1^*$  — устойчивый предельный цикл с самовозбуждением,  $r = r_2^* > r_1^*$  — неустойчивый цикл:  $A < 0, B > 0, C < 0, D > 0$ .

Таким образом, вид трофической функции  $V$  задает соотношение между производными  $\varphi'$ ,  $\varphi''$ ,  $\varphi'''$ , которое, в свою очередь, определяет знаки  $A, B, C, D$  и, тем самым, поведение системы в окрестности равновесия.

Если использовать достаточно простую параметризацию функции:  $V = V_\infty x^2 / (K + \sigma x + x^2)$ ,  $\sigma^2 \ll K$ , то эту классификацию можно изобразить

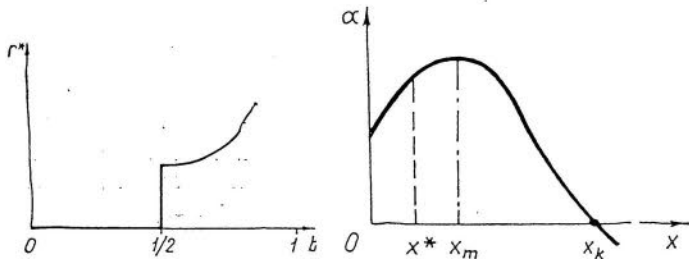


Рис. 3. Зависимость амплитуды цикла от параметра  $b = m/kV_\infty$ .

Рис. 4. Мальтузианская функция популяций типа Олли.

графически, в плоскости параметров  $\mu, b = m/kV_\infty$  (рис. 2). При  $b < 1/2$   $r^* = 0$  соответствует устойчивой стационарной точке и, кроме того, в области I существует неустойчивый предельный цикл, в области II — внешний по отношению к нему устойчивый цикл. Справа от критического значения  $b = 1/2$   $r^* = 0$  — неустойчивое равновесие.

При этом возможно появление устойчивого предельного цикла (область III) и содержащего его неустойчивого цикла (область IV). Заметим, что в системе два предельных цикла возможны лишь при  $\mu < 17/7$  в узком диапазоне изменения параметра  $b$ . В свою очередь, один предельный цикл возможен при  $\mu \leq 4$  в несколько более широком интервале значений  $b$ . Поскольку  $\mu = m/\alpha$ , то предельный цикл в системе может возникать лишь при сравнительно небольших по отношению к продуктивности жертвы смертностях хищника —  $\mu \leq 4\alpha$ , а два предельных цикла — при еще меньших:  $m < 2 \frac{3}{7} \alpha$ .

Предположим, что при  $b < 1/2$  система находится в равновесии ( $r^* = 0$ ). Будем медленно (по сравнению с длительностью переходных режимов) увеличивать  $b$ , так что при переходе к новому значению параметра система успевала бы выйти на новый стационарный режим. Вплоть до достижения критического значения  $b = 1/2$  система находится в покое, но при переходе через это значение равновесие  $r^* = 0$  теряет устойчивость, и в системе сразу возникают колебания с конечной амплитудой (рис. 3). Это классическая ситуация «жесткого самовозбуждения» в теории нелинейных колебаний или «катастрофы» в теории катастроф.

И наконец, еще один пример возникновения колебаний в системе «хищник — жертва». Пусть трофическая функция — вольтерровская, а мальтузианская функция  $\alpha(x)$  принадлежит так называемому классу Олли, т. е. немонотонна (рис. 4). Система (1).с  $V(x) = \beta x$  имеет нетривиальное рав-

новесие  $x^* = m/k\beta$ ,  $y^* = \alpha(x^*)/\beta$ . Если теперь рассматривать  $\beta$  как бифуркационный параметр, а  $\beta_m = m/kx_m$  как его бифуркационное значение, то в малой окрестности  $\beta_m$ , определяемой неравенством  $\beta^2 > \frac{m}{4k^2} \frac{[\alpha'(x^*)]^2}{\alpha(x^*)}$ ,

имеем типичную ситуацию бифуркации Андронова — Хопфа. Применяя стандартную технику, получаем:

а) для  $\alpha''(x_m)x_m < -2\alpha''(x_m)$  и при  $\beta > \beta_m$  в окрестности  $\{x^*, y^*\}$  возникает устойчивый предельный цикл;

б) для  $\alpha''(x_m)x_m > -2\alpha''(x_m)$  и при  $\beta < \beta_0$  в окрестности  $\{x^*, y^*\}$  возникает неустойчивый предельный цикл. Так как траектории (1) в этом случае ограничены и точка  $\{x_h, 0\}$  — седло ( $\alpha'(x_h) = 0$ ), этот неустойчивый цикл обязательно должен быть окружен устойчивым. Вопрос о существовании третьего, четвертого и т. д. циклов остается открытым. В заключение заметим, что здесь мы имеем типичную ситуацию «мягкого самовозбуждения» колебаний.

2. Система «хищник — жертва» в случайной среде. Перейдем к изучению динамики системы «хищник — жертва» в случайной среде [5]. В качестве модели случайной среды будем рассматривать δ-коррелированные белые шумы постоянной интенсивности. Соответствующая стохастическая система для амплитуды и фазы имеет вид

$$dr/d\tau = -\frac{\varepsilon r}{2}(A + Br^2 + Cr^4) + \sigma_1 n_1, \\ d\Psi/d\tau = \sqrt{\mu} + \frac{\varepsilon}{2}(A + Br^2 + Cr^4) + \sigma_2 n_2, \quad (5)$$

где  $n_1, n_2$  — случайные возмущения. Получение замкнутой системы для моментов или решение уравнений Колмогорова в общем виде невозможно. Однако для стационарной функции плотности переходной вероятности не трудно получить явное выражение

$$P_0(r) = Er \exp \left\{ -\frac{r^2}{\sigma_1^2} \left( A + \frac{B}{2} r^2 + \frac{C}{3} r^4 \right) \right\}, \quad (6)$$

$E$  — нормировочная константа. Экстремумы функции  $P_0(r)$  определяют наиболее и наименее вероятные значения амплитуды колебаний  $r_m$  в системе. Легко показать, что в зависимости от значений параметров эта функция имеет либо один максимум, либо два максимума и один минимум. Заметим, что наиболее вероятные значения амплитуды колебаний лежат в окрестностях устойчивого равновесия и устойчивого цикла, а наименее вероятные — в окрестности неустойчивого цикла.

Этот анализ позволяет выделить следующие четыре варианта поведения системы в случайной среде на больших интервалах времени.

1. Уход траекторий системы из окрестности равновесия, т. е. потеря устойчивости. При этом уход может быть быстрым, если в этой окрестности нет устойчивого цикла ( $A < 0, C < 0$ ), либо медленный, если есть устойчивый внутренний и неустойчивый внешний предельные циклы ( $A < 0, B < 0, C < 0, D < 0$ ). Тогда система может некоторое время провести в окрестности устойчивого цикла.

2. Диффузия траекторий вокруг устойчивого равновесия имеет место при отсутствии предельных циклов. Наиболее вероятное значение амплитуды случайных колебаний лежит в окрестности устойчивой точки ( $A > 0, B > 0, C > 0$ ).

3. Размывание устойчивого предельного цикла имеет место, если равновесное положение неустойчиво ( $A < 0, C > 0$ ). При этом стационарное распределение унимодально и максимум его лежит правее амплитуды предельного цикла.

4. Диффузия траекторий с наиболее вероятными значениями амплитуды случайных колебаний — в окрестности устойчивого равновесия и внешнего

устойчивого предельного цикла ( $A > 0, B < 0, C > 0, D > 0$ ) и интенсивность возмущений достаточно мала. Возможны и другие экологические интерпретации, но мы их здесь рассматривать не будем.

3. Циклы и хаос в более сложных сообществах. Трофические цепи.

Рассмотрим естественное обобщение системы «хищник — жертва» — так называемые трофические цепи [4]. Трофическими цепями называются сообщества, динамика которых описывается уравнениями

$$\begin{aligned} dN_0/dt &= Q - V_0(N_0) N_1 + \sum_{i=1}^n a_i m_i N_i, \\ dN_i/dt &= k_i V_{i-1}(N_{i-1}) N_i - V_i(N_i) N_{i+1} - m_i N_i, \\ N_{n+1} &\equiv 0, \quad i = \overline{1, n}. \end{aligned} \tag{7}$$

Здесь  $V_i(N_i)$  — трофические функции, либо линейные вольтерровские, либо принадлежащие к одному из двух упомянутых выше классов,  $N_0$  — ко-

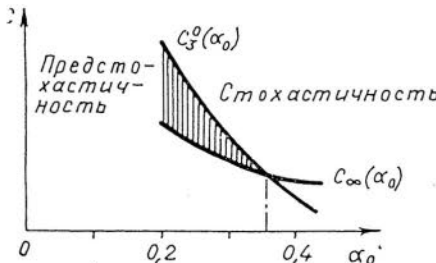


Рис. 5. Область существования различных динамических режимов для замкнутой трофической цепи.

личество ресурса (свет, биогенные элементы),  $Q$  — скорость его поступления в систему;  $k_i \leq 1$  — КПД переработки биомассы  $i$ -го вида в биомассу  $(i+1)$ -го,  $m_i$  — коэффициенты естественной смертности,  $a_i \leq 1$  — коэффициенты замыкания биологического круговорота.

Анализ этой системы показал, что она обладает очень богатым набором периодических решений [6, 7]. Интересно, что при вольтерровских трофических функциях циклы появляются только в так называемых замкнутых трофических цепях, когда  $Q = 0$ ,  $k_i = a_i = 1$ ,  $i = \overline{1, n}$ , и система (7) имеет интеграл  $C = \sum_{i=0}^n N_i = \text{const}$ , выражющий закон сохранения вещества.

Но циклы могут возникнуть только при  $n \geq 4$ , т. е. только в достаточно сложном вольтерровском сообществе. Если же трофические функции не вольтерровские, более реалистические, то колебания возникают и в цепях меньшей длины, не обязательно замкнутых.

В последнее время появилось много работ, посвященных отысканию сложного динамического квазистохастического поведения в системах обычновенных дифференциальных уравнений, — так называемым странным атракторам. Оказывается, что такое поведение не является экзотикой для моделей даже достаточно простых экосистем типа замкнутых трофических цепей [8].

Рассмотрим систему (7) для  $n = 3$  и при  $Q = 0$ ,  $k_i = a_i = 1$ ,  $V_0 = \alpha_0 N_0$ ,  $V_i = a N_i / (1 + b N_i)$ ,  $i = 1, 2, 3$ . Можно показать аналитически, что для достаточно больших  $\alpha_0$  в системе возникает устойчивый предельный цикл (как результат бифуркации Андронова—Хопфа). Затем система исследовалась численно для  $m_1 = 0,1$ ;  $m_2 = m_3 = 0,2$ ;  $a = b = 0,2$  и для различных значений параметров  $C = \sum_{i=0}^n N_i$  и  $\alpha_0$  ( $0,2 < \alpha_0 < 0,38$ ). Система

развивалась следующим образом: при  $G = G_1^0 = G^0(\alpha_0)$  в результате бифуркации Андронова—Хопфа рождается устойчивый предельный цикл  $\gamma_1 =$

$\gamma_1(G)$ ; при  $G = G_2^0$  рождаются два цикла—устойчивый  $\gamma_2$  и неустойчивый  $\gamma_3$  (т. е. при  $G \rightarrow G_2^0+$  они сливаются через  $+1$ ); при  $G = G_3^0$  циклы  $\gamma_1$  и  $\gamma_3$  сливаются и исчезают. Следовательно, в точках  $G_1, G_2, G_3, \dots$  происходят бифуркации удвоения, т. е. при  $G = G_1$  цикл  $\gamma_2$  теряет устойчивость, его мультиплликатор переходит через  $-1$  и около него рождается устойчивый цикл удвоенного периода, с которым при  $G = G_2$  происходит такая же бифуркация и т. д., когда  $G_n \rightarrow G_\infty = G_\infty(\alpha_0)$ . При  $\alpha_0 = 0,34$  получены следующие значения этих параметров:  $G_1^0 = 9,447$ ;  $G_2^0 = 30,55$ ;  $G_3^0 = 36,251$ ;  $G_1 = 33,04$ ;  $G_2 = 34,835$ ;  $G_3 = 35,41$ ;  $G_4 = 35,541$ ;  $\dots$ ;  $G_\infty \simeq 35,58$ . Вычисленная по значениям  $G_3, G_4, G_5$  константа Фейгенбаума  $k \simeq \frac{G_4 - G_3}{G_5 - G_4} = 4,5 + \beta$ ,  $0 < \beta < 0,1$  довольно близка к теоретической  $k = \lim \frac{G_n - G_{n-1}}{G_{n+1} - G_n} \simeq 4,66$ .

Рассмотрев график функций  $G_\infty(\alpha_0)$  и  $G_\infty(\alpha_0)$ , мы обнаружим следующую картину (рис. 5): в заштрихованной области существует так называемый режим предтурбулентности (предстохастичности), когда имеется странный аттрактор, родившийся в результате бесконечной цепочки удвоений, и устойчивый предельный цикл. Полная стохастичность наступает при  $G > G_3^0$ , т. е. когда устойчивый цикл исчезает. Заметим, что предстохастичность наблюдалась ранее в классической системе Лоренца, но там странный аттрактор рождался не в результате бифуркационного удвоения. Все эти указывает на возможность возникновения даже в простых экологических системах странных аттракторов различных типов.

1. Вольтерра В. Математическая теория борьбы за существование.— М.: Наука, 1976.— 288 с.
2. Колмогоров А. Н. Качественное изучение математических моделей популяций.— Пробл. кибернетики.— 1972.— Вып. 25.— С. 100—106.
3. Holling C. S. The functional response of predator to prey density and its role in mimicry and population regulation // Mem. Entomol. Soc. Canaba.— 1965.— 45.— Р. 1—60.
4. Свирежев Ю. М., Логофет Д. О. Устойчивость биологических сообществ.— М.: Наука, 1978.— 352 с.
5. Сидорин А. П., Свирежев Ю. М. Динамика системы хищник — жертва в условиях случайных возмущений // Изв. АН СССР. Сер. биол.— 1980.— № 4.— С. 573—578.
6. Яцало Б. И. О динамике замкнутых экологических систем // Динамика биологических популяций.— Горький : Горьк. ун-т, 1984.— С. 3—16.
7. Яцало Б. И. Влияние фактора насыщения на динамику замкнутых экологических систем // Журн. биологии.— 1985.— 45, № 4.— С. 480—484.
8. Svirezhev Yu. M. Modern Problems of Mathematical Ecology // Proc. Int. Congress of Math.— Warszawa, 1983.— 1.— Р. 1677—1693.